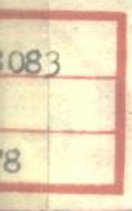


电力系統动态模拟论文集

科学出版社



电力系統动态模拟論文集

清华大学电力系統动态模拟实验室

高景德 主編

科学出版社

内 容 簡 介

本論文集共收集了清华大学在建立电力系統动态模拟實驗室过程中所写的十篇論文。第一篇敘述了模拟原理和建立动态模拟實驗室的一些原則問題。第二篇討論設計模拟发电机的一些特殊問題和規律。第三篇对模拟电机磁路計算进行了分析并提出更准确的計算方法。第四篇敘述制造模拟进相机的工艺特点。第五篇討論模拟变压器的設計制造問題。第六、七兩篇介紹帶鐵心电抗元件作为輸电綫模拟的一些問題，并对双迴路故障段模拟的漏电抗計算提出計算方法。第八篇敘述原动机模拟的原則和特性。第九篇介紹強力式調節器中各环节的設計和試驗方法。第十篇介紹利用动态模拟来研究电力系統輸电容量的原則和結果。

电力系統动态模拟實驗室的主要設備的設計、制造及应用等問題，在本論文集中都有所論述，对有关科学的研究、設計制造及运行人員均有参考价值。

电力系統动态模拟論文集

清华大学电力系統动态模拟實驗室

科学出版社出版 (北京朝阳门大街 117 号)

北京市书刊出版业营业登记证字第 061 号

中国科学院印刷厂印刷 新华书店总經售

書

1960 年 7 月第一版 號：2229 字數：122,000

1960 年 7 月第一次印刷 开本：787×1092 1/16

(京) 0001-14,000 印張：76 2/3

定价：0.78 元。

前　　言

自 1956 年我校开始筹划建立电力系統动态模拟实验室以来，特別是自 1958 年貫彻执行党的“教育为无产阶级政治服务，教育与生产劳动相结合”的方針以来，由于在这一工作中我們根据党的指示坚持了政治掛帥，羣眾路線和教学、科学研究及生产工作三結合的原則，到目前为止，不但实验室的第一期建設任务基本完成，已經投入了运行，并进行了一些科学的研究工作。这个实验室的房子是 1958 年 8 月才建成交付使用的，其中的設備也是在这一时期开始大量制造的。这个实验室所以能够这样迅速地建立起来，完全是由于党的正确领导及羣眾的冲天干劲。这个实验室的全部設備都是学习苏联先进經驗，自己动手設計、試制、安装、調整好的，不仅投資較低，建成迅速，而且通过工作也有效地培养了学生和教师职工队伍，树立了良好的工作方法和作风。

为了及时总结我們的工作，我們特編写了这样一本論文集。另外，本书还有供給后来参加工作的同志尽快熟悉情况和与兄弟单位交流經驗并得到指正的目的。

为了更好地貫徹执行党的教育方針和加快这个实验室的建設速度以及充分調动各方面的智慧和力量，在建設这个实验室的过程中，先后吸收参加工作的教师、学生及职工达数百人。因此，这本論文集也是許多工作同志的劳动成果。本校发电厂电力网及电力系統专业和电机制造专业 1959 年毕业班的許多同学曾經結合真刀真槍的毕业設計工作，在这个实验室里进行了很多工作，并且做出不少貢獻。这本論文集的不少內容就是綜合他們工作的結果而成。在此，我們也予以說明，并向他們表示謝意。

这个实验室的迅速建成，也是与苏联对我们的无私帮助分不开的。莫斯科动力学院(МЭИ)和列宁格勒电工研究所(НЭИ)贈给了我們不少宝贵的資料，对我们的工作起了很大的指导作用。在此我們特向他們表示深切的感謝。

在建立这个实验室的过程中，我們还得到了許多单位的支持及帮助，特別是水利电力部和第一机械工业部。上海电机厂、哈尔滨电机厂和北京市电車公司修配厂等更为我們制造了一些模拟电机，我們也想借此机会，再一次向他們表示謝意。在编写本論文集时，我校有关教师和同学都提出过不少宝贵意見，我們在此向他們表示謝意。

由于我們水平不高，經驗不够，再加上時間的仓促，这本論文集中一定还存在着
許多不足和錯誤之处，希讀者予以指正。

清華大学电力系統动态模拟實驗室 1960. 2. 1.

目 录

前言.....	i
建立电力系統动态模拟實驗室的几个問題.....	1
模拟电机的設計.....	12
模拟水輪发电机的磁路計算.....	24
試制模拟进相机的几个問題.....	33
模拟变压器.....	47
电力系統輸电線路模拟.....	55
輸电線路双迴路故障段的模拟.....	63
电力系統原动机模拟.....	69
強力式励磁調節器的試制及調整.....	84
利用电力系統动态模拟研究电力系統的輸送容量.....	94

建立电力系統动态模拟實驗室的几个問題

執筆人 茅於杭

我国电力工业正在高速度向前发展，装机容量达数十万乃至数百万瓦的电站，輸电电压为 22 万伏或 33 万伏的远距离輸电系統正在不断涌现，更大容量的电站和更高电压的网络也已在設計或规划中。这些宏大的建設任务要求我們迅速开展有关理論和实验研究工作，以解决从生产实际中提出的許多复杂的研究任务。

1958 年我校在党的总路線的照耀和全国大跃进的形势鼓舞下；在党的教育方針的指导下，以学习苏联先进經驗，自立更生的精神，迅速建立起了电力系統的研究基地。其中 200 周 12 个发电机元件的交流計算台于 1958 年 9 月完成試制工作，1959 年初調整完毕，投入运行，并为华北、江南等电力系統的运行和設計进行了研究工作，解决了一些生产問題。我校 1956 年开始筹建的动态模拟實驗室則是由 1958 年 8 月开始动工兴建的，經不断充实完善，至今已有五套模拟机組投入运行，并开始为江南电力系統的設計规划进行研究工作。

动态模拟實驗研究工具在我国得到了很大的重視。許多单位已着手或正在规划建立这种實驗室，本文将对这一研究工具的一般特点及我校动态模拟實驗室的情况作一简单叙述。



动态模拟實驗室全景(照片)

一、电力系統的物理模拟和数学模拟

电力系統的物理模拟即通称的动态模拟，也就是将电力系統中各元件(发电机、

变压器、輸電線路、負載等)按照參數特性相似的原則做成小的模型，并在實驗室里試驗研究電力系統有關問題的研究工具。由於模型所具有的特性和原型一致，所以在模型中所發生的電流、電壓、功率、轉速等物理量的相對值的變化過程可以和被模擬的原型系統中所發生的过程一樣。由於實際電力系統中各元件具有很複雜的特性，如飽和、磁滯、渦流等效應，在理論分析時，往往只能忽略或近似的加以估計，而在動態模擬中它們對過渡過程所起的作用則可以比較完整的反映出來。在物理模擬上還可以將實際電力系統應用的繼電保護裝置、自動調節裝置等控制設備直接接入，以觀察這些設備在電力系統不同運行情況下的工作性能。所以物理模擬還可以補充數學分析的不足，幫助我們深入了解一些物理現象，或觀察到過去未被注意的物理現象。

對於正在規劃或設計的電力系統，有了動態模擬後就可事先在實驗室里將它們將來的運行情況模擬出來，加以研究。例如水電站發電機參數的選擇，勵磁系統及勵磁調節器的選擇，各種提高輸電線路傳輸能力的研究，提高靜態與動態穩定的措施，中間系統的作用的研究，各種補償措施對輸電系統的影響，決定合理的運行方式等，利用動態模擬實驗研究工具是極為方便有效的。

對於已有的電力系統當採用一些新的技術措施時，要在實際系統上進行實驗是有很大的限制的，但在動態模擬實驗室里就可很方便地進行這些實驗。

在電力系統實際運行工作中，判別事故和正確處理事故是運行人員的重要任務。因此，動態模擬實驗室也是培養和訓練運行人員的良好場所，因為在這裡可以很方便地表演事故和作事故演習。同樣，動態模擬實驗室也可供學生作教學實習和表演之用。

由於我國電力工業的迅速發展，動態模擬的研究工作已在中國得到了廣泛的重視，目前已有十幾個高等學校和科學研究機關正在建立或正在準備建立動態模擬實驗室，並開展這方面的研究工作。

在國外，首先在蘇聯，早在1937年就已經開始了動態模擬的研究工作。在電力系統物理模擬理論及其應用方面，蘇聯學者和科學工作者作出了許多貢獻。由於有了動態模擬這樣先進的研究工具，他們還在解決古比雪夫至莫斯科等遠距離輸電系統的問題上作出了卓越的成績。

研究電力系統的另一途徑是利用數學計算工具或數學模擬裝置。數學模擬計算方法是根據不同物理量而具有相同微分方程式的系統具有相似過程的原理對研究對象進行分析研究。交流計算台和直流計算台即可認為是一種靜止的模擬計算工具，由於這些工具不能反映動態過程，所以在解微分方程式時必須把時間劃分成許多小的間隔進行逐點計算。模擬電子計算機則可將表征發電機或其他元件的微分方程式

进行模拟，故可获得研究过程对时间連續的結果。再如近年来广泛重視并已迅速发展的数字电子計算机也已开始用来研究解决电力系統的問題。

利用数学模拟来研究解决电力系統的問題有許多优点。例如利用交流計算台來計算复杂电力系統的功率分布，电压水平、静态和动态稳定等問題是十分方便灵活的。模拟式电子計算机則对于确定电力系統自動調節系統的稳定性和調節過程，非同期运行等問題的研究具有特別的优越性。若将模拟电子計算机配合交流台使用时研究問題的范围就将大为扩大。

但利用数学模拟工具研究問題时，須将研究对象作适当簡化，以便列出便于計算的数学方程式。这种簡化会給研究結果带来一定的誤差。此外，数学模拟还有难于全面反映研究对象的所有的物理量的困难。

因此，从研究电力系統各种問題的角度来看，数学模拟和物理模拟是各有优缺点的。因而是不能以一种代替另一种的。在研究某些具体問題时，常常需要两者配合使用，互相取长补短才能得到最好的研究結果。

二、动态模拟實驗室的規劃設計

建立动态模拟實驗室时首先要确定實驗室的基本規模。这主要决定于模拟电机的数目及其基本容量和电压，其次是實驗室各設備的布置和控制方式等。

决定實驗室的机组数目时，应考虑到實驗室研究任务的要求和实际建立时的合理性及可能性。在动态模拟實驗室里不宜象交流台那样去研究只簡化到六、七个甚至十几个电站的复杂电力系統，因此通常总是把被研究的电力系統簡化为三四个电源的系統，甚至化簡为一机对无穷大的系統来研究。但是为了便于适应不同研究对象的要求，便于选择参数，實驗室仍应有更多数量的机组，各台电机还应配有不同气隙、不同型式的轉子。我校动态模拟實驗室的第一期工程規模定为六台电机，部分电机还配多个轉子。

模拟电机的基本容量决定于其参数的要求：由具体設計計算表明，基本容量大些，就易于获得滿意的参数，但不可避免地将使實驗室里所有的設備都因此加大，并增大了設備的投資，同时还要引起在實驗室条件下进行按裝調整运行以及抽換轉子等的困难。基本容量小些，固然可以节省投資，但是参数不易滿足要求，并且量測迴路消耗的功率都可能对主要過程发生影响。参考了苏联实际采用的情况和我們自己工作的經驗，我們認為选定 15 仟伏安为基本容量，并以 30、15、7.5、3.75 仟伏安为系列是比较經濟的，技术上也是比較合理的。同步补偿机的容量一般决定于远距离輸电系統中的輸电容量及其要求补偿的容量的比例，并考慮到能逐級改变补偿容

量的大小，这样，我們选定同步补偿机的基本容量是 7.5 及 3.75 仟伏安。实际上发电机和同步补偿机在抽換不同轉子后也可以互換（此时原动机模拟应同时加以改变）。

决定模拟系統額定电压的原则是：一方面尽可能高一些，这样可以采用較小截面的联接線，可以減小接触电阻的影响；另一方面电压也不宜太高，否則将要求实验设备的絕緣水平提高而增加实验室的投資，增加运行的困难。根据这些考虑，发电机額定电压选定为 400 伏，这样电机可以采用普通低压絕緣，輸电線路則采用 800 伏为基准电压，这样可以采用 500 伏的普通低压电器设备。使配电装置便宜、简单；同时輸电線路的并联电容和串联补偿电容的微法数也可以小些。

在实际运用模拟设备时，以上所述的額定容量和电压等并不是不可以改变的。例如发电机的額定电压及容量根据无載特性的相似及参数整定要求可以运行在較高或較低的数值上。隨之輸电線路的运行电压也是可变的。

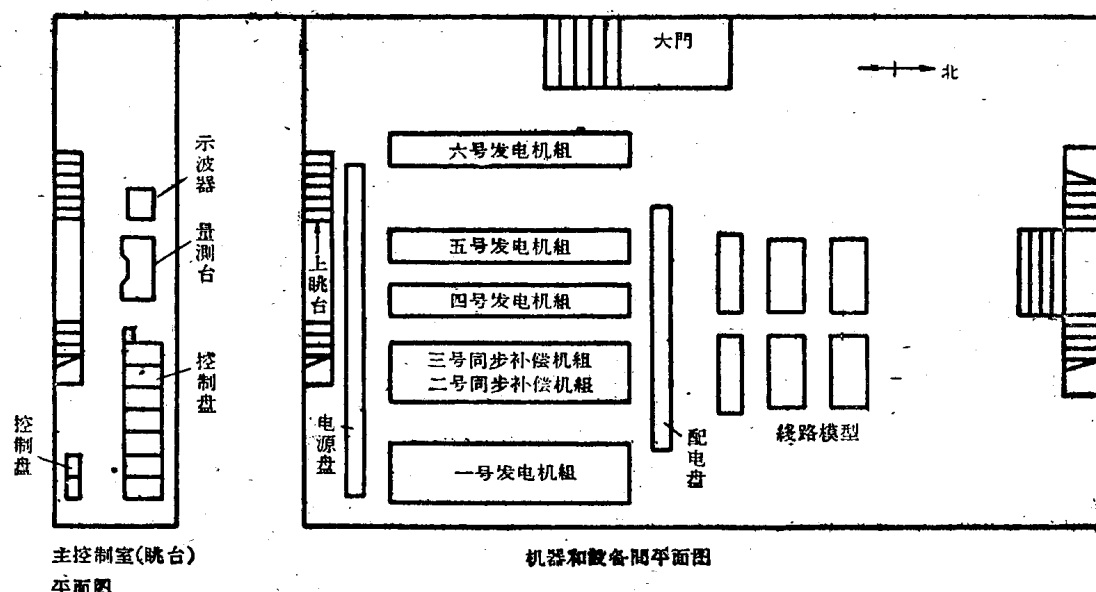


图 1-1 实验室平面布置

我校实验室的总体布置如图 1 所示，在設計实验室的总体布置时考虑了以下几个原則：1. 主控制室和机器間的声音要隔开，但視線不隔开，这样就便于在主控制室很好監視机器的运行状态和互相联系。所以我們把主控制室放在实验室南侧眺台上，隔着玻璃可以俯視全实验室的主要設備。2. 属于一套模拟机組的附属电机集中在一起，以使接線簡便，附属机組的控制操作设备也集中在一处，这样起停一套机組操作也較方便，发电机至变压器之間尽可能靠近，以縮短接線。接線則用了截面很大的銅線，以減小联線电阻。同样，变压器到开关配电裝置之間的联線也应尽可能縮短。3. 供电电源盤和配电裝置也尽可能集中，以便运行。輸电線元件，则置于配电盤

近旁，以縮短接線。4. 机器的控制和調節設備採取了集中与分散相結合的原則，必要的控制量測設備集中在主控制室，有一些調節器，量測裝置就裝設在机器設備近旁，以簡化二次接線。

三、實驗室的主要模擬元件

1. 发电机 模擬发电机是實驗室的關鍵設備。普通小型电机是不能直接模擬大型电机参数的，具体分析小型电机的参数时就可发现，以标么值（即相对值）表示的各参数中，其电阻值較大，各种損耗也大，慣性常数則較小。所以直接用普通小电机来模擬大型电机时，在各种运行情况下的过渡过程就会有严重的畸变。

为了获得参数的模拟，可用普通电机降低基准容量，并在定子及轉子回路內串以負電阻机对电阻加以补偿，串以附加电抗补足漏抗，以及采用附加飞輪补偿慣性常数等。这种办法在因陋就簡的条件下也可以用来进行實驗研究，解决一些問題，但是采用这种办法一般要将定子电阻及轉子电阻作很大的补偿，这会遇到很大的困难。特別是当定子电阻按有效电阻（即包括附加損耗的电阻值）补偿时，歐姆电阻值即有变成負值的可能。此外，还有其他参数虽采用了一系列的补偿措施也不易得到滿意的結果，所以一般都是采用特殊設計的模擬电机的。

我校特殊設計的模擬电机是采用了特別加深定子槽深和降低电流密度的办法，以获得与大型电机相近的定子电阻数值。轉子电阻則用外加負電阻机給以补偿，补偿值一般在 65—80% 的范围内。关于模擬电机的設計問題另有专文討論，这里将不多述。

實驗室第一期規模的六台电机的参数見表 1，表中还包括了某些电机具有几个不同轉子时之参数。表中所列的参数是在已定的基准容量和电压下的数值。实际运行时，为了滿足参数整定的要求，容量和电压都是可变的，模擬机的額定电压一般应考慮到无載特性曲線的相似要求，因为无載特性曲線与各参数在不同运行情况下的磁路饱和情况有很大关系。例如轉子的時間常数 T_{d0} 的动态数值是和电机运行在对应于无載曲線上某一点的切綫斜率有关，当发电机的負載发生从无載到滿載的变化时，这个数值也会有成倍的变化，这当然是不可忽略的。

改变发电机容量和电压，抽換轉子，以及采用附加的补偿措施后，模擬发电机的参数，虽然可以在相当大的范围内改变和整定，但实际上总还是难以把研究对象的参数全部模擬下来。这时就应根据研究問題的性質，将那些对过程有显著影响的参数尽可能模擬准确，但对与过程只有次要影响的参数則可适当放宽要求。这里必須把理論分析和實驗研究結合起来处理。显然，参数整定不恰当就会导致實驗結果的不

表1 模拟电机参数一览表

参 数	MG 30-6	MG 15-6		MG 7.5-4		MG 3.75-4	MKC 7.5-4	MK-3.75
		第一轉子	第二轉子	第一轉子	第二轉子			
$2P$	6	6	6	4	4	4	4	4
$S(KBa)$	30	15	15	7.5	7.5	3.75	3.75	3.75
$U_H(B)$	400	400	400	400	400	200	400	400
$I_H(a)$	43.3	21.7	21.7	10.8	10.8	10.8	10.8	10.8
$D_a(cm)$	85	85	85	56	56	49.3	49.3	49.3
$D_b(cm)$	42.3	36.8	36.8	28	28	24.5	24.5	24.5
$r(cm)$	22.2	19.3	19.3	170	170	19.25	19.25	19.25
$l_t(cm)$	34.8	30	30			21	30	20
q	3	2½	2½	3	3	3	3	3
Z	54	45	45	36	36	36	36	36
$\delta(mm)$	2.7	0.9	1.6	0.9	1.3	0.9	0.9	0.6
$H_i(秒)$	3.91	4.5	2.72	4.88	4.88	4.3	4.15	4
$B\delta(2c)$	4050	4900	4900	4260	4260	4050	2980	3240
$A(a/cm)$	118	67.5	67.5	88.8	88.8	50.9	80.9	56.1
$r_a = (\text{标么})$	0.00301	0.00164	0.00165	0.00355	0.00355	0.00372	0.00466	0.00282
$r_{a\sim}(\text{标么})$	0.0202	0.00147	0.00294	0.0362		0.0328	0.023	
$r_f(\text{标么})$	0.002	0.00163	0.0022	0.00342	0.00343	0.00184	0.00237	0.00265
$x_d(\text{标么})$	1.06	0.657	0.497	1.76	1.284	0.715	1.58	1.81
$x_q(\text{标么})$	0.636	0.317	0.31	1.64	1.284	0.51	0.99	1.03
$x'_d(\text{标么})$	0.379	0.20	0.143	0.192	0.16	0.162	0.416	0.215
$x''_d(\text{标么})$	0.298	0.12	0.116	0.168	0.1226	0.093	0.171	0.132
$X_f(\text{标么})$	0.28	0.221	0.153	0.0845	0.0818	0.11	0.125	0.165
$x_f(\text{标么})$	1.155	0.841	0.64	1.80	1.283	0.915	1.75	1.915
$x_2(\text{标么})$	0.307	0.115	0.115	0.206	0.1495	0.171	0.182	0.142
$x_o(\text{标么})$	0.0779	0.0254	0.0405	0.0592		0.065	0.057	0.072
$x_s(\text{标么})$	0.185	0.0367			0.083	0.0489	0.078	0.061
$T_{do}(\text{秒})$	1.57	1.53	1.244	1.66	1.19	1.37	1.7	2.3
$T'_d(\text{秒})$	0.41	0.465	0.748	0.0995	0.148	0.0882	0.172	0.27
$T''_d(\text{秒})$	0.021	0.08	0.056	0.0149	0.0153	0.0206	0.027	0.047
$T_a(\text{秒})$	0.135	0.206	0.129	0.109	0.134	0.0439	0.0728	0.129
	实验值	设计值	实验值	实验值	设计值	实验值	实验值	设计值

可靠。

模拟电机参数的实验测定结果表明，模拟电机定子交流电阻比直流电阻值要大2—3倍至5—6倍不等。初步分析附加损耗的主要来源在于空间谐波磁通引起了较大的损耗，这是设计电机时所必须加以注意的。交流电阻过大时，可能引起某些过渡过程实验失真，特别是当实验中作机端（变压器高压侧）三相短路时，短路电流很大，电机内的电阻损耗很大，这将会使其转子受到过大的制动转矩，并使其角度 δ 的变化情况与实际情况不相符合。所以在做动态稳定实验时，就应避免在机端直接短路。

远方短路时短路电流较小，这影响当然就会大大减小。

2. 变压器 为使模拟变压器具有大型变压器所具有的较小的无载及短路损耗，较小的激磁电流及较大的短路阻抗，一般也须特殊设计制造。采用冷轧矽钢片及降低导线的电流密度及其他措施可以得到较好的结果，但往往也不易将所有参数都模拟准确。在研究电力系统的稳定问题时，短路损耗及短路阻抗的模拟要求较高，无载损耗及激磁电流的模拟要求则可稍予降低。当变压器的变比为1时，可直接用串联电抗及并联电抗的等值T形或Γ形电路来模拟；变比不大时，也可用自耦变压器来模拟。应用这种办法时，虽然上述的参数可以得到较好的模拟，但又引起了零序电流必须通过发电机的困难。

我校实验室的模拟变压器是按双绕组设计的，有三相式及三单相式两种，接法均为Y/△。变比为400/800±2×25%及2×200/800±2×100伏两种，三单相式变压器的短路电抗值可借两铁心柱上高低压线圈分布的不同而加以改变。

各台发电机均配有同容量的模拟变压器，连接负载的负载变压器则可不考虑各参数的模拟，因为其多余的损耗及激磁电流可以归并到负载中去，只要在调正负载特性时加以考虑即可。

3. 输电线路及负载 输电线路模型是按800伏电压，15仟伏安容量传输一个自然功率为基准设计的。链形电路中，每个等值Π环节模拟100公里长的原型输电线。当模拟的基本容量或电压改变时，每个环节代表的公里数也将不同。输电线路模型分两种，一种是由每相单独的具有较大空气间隙的铁心电抗线圈制成，可模拟单回路输电线，但用此模拟双回路输电线时，由于双回线间的互感不能模拟，所以在不对称故障时不能正确反映各相电量的关系。为了模拟双回线不对称故障运行情况，我们还特殊设计制造了另一种双回路线路模型，这是由六角形排列具有空气隙的铁心电抗线圈组成。双回路之间的互感效应在此可以得到较好的反映。采用铁心电抗线圈时，用铜量可以比空心电抗线圈节省五分之四左右，并能满足 $r/x \approx 5\%$ 和在5倍额定电流时铁心尚不饱和的要求（电抗值可保持在±2%以内）。

负载模拟是两组各包括7盏灯载及9台电动机负载的组合。改变串联电抗及电动机负载特性，就可以在适当范围内模拟真实负载的 $P \sim f$, $Q \sim U$ 等特性。进一步模拟负载的动态特性时应对电动机负载的滑差-转矩特性及转动惯量进行模拟。

4. 励磁系统及原动机系统的模拟 为了模拟不同的励磁系统，在实验室里装备有两种励磁系统，电机励磁系统和离子励磁系统。为了补偿发电机转子回路的电阻，设有不同参数的负电阻机，电阻补偿值一般调整在65—80%，转子时间常数 T_{do} 则可增大到6—7秒。为了减小电机的磁滞效应，并使负电阻值比较稳定起见，在负电阻

机定子轭上及齿上还装有振动绕组，并通以 60 周的交流电流，电压转换机的励磁由励磁机的输出供给，以便得到与原型励磁机相似的特性曲线。电压转换机发出的电压经负电阻机供给发电机励磁。部分负电阻机还具有他激线圈，可以同时起电压转换机的作用。

本实验室中的励磁调节器有两种：一种是复式励磁及电磁式电压校正器。复式励磁由硒整流片及调节电阻组成，校正器是 3MK-Y 型工业产品，为减轻电压互感器负担，校正器的放大元件由外部电源供给。另一种是按电压、电流等电量的偏差和导数等调节的强有力式电子励磁调节器。

实验室中还配有两套离子励磁模拟装置，用闸流管模拟汞弧管，可用来研究各种

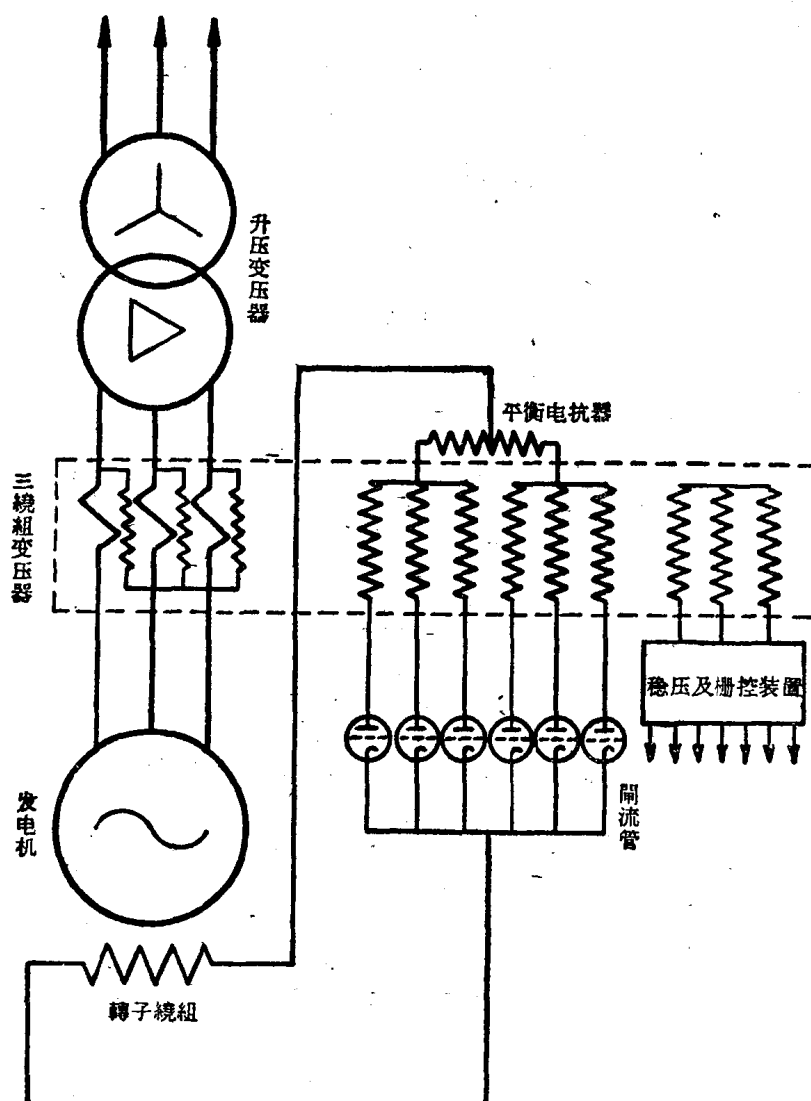


图 1-2 具有三绕组变压器的自励式离子励磁简图

自励方式的离子励磁系统。图2给出了用三绕组变压器自励离子励磁装置的简化接线。其中栅控装置的电源取自同一变压器的附加绕组，以保证在不同运行情况下，栅控电源的相角能和阳极电压的相位相同，栅控调节是用碳放大器控制的静移相桥。

原动机系统的模拟和原动机的供电方式有关。本实验室所用直流电是由总电源室供给。为了模拟实际水轮机的转矩-转速特性，原动机是由总电源经加压机供电。加压机的励磁则是由电流负反馈经电机放大机控制。改变原动机出力时，只须改变放大机的他激电流即可。如果每台原动机采用单独的直流发电机来供电时，其工作将不致互相影响，特性也更便于调整，但这样要求直流发电机有较高的额定电压，并且设备投资也要贵一些。

四、实验室的一二次接线及主控制室

模拟系统的一次线系统应做到简便灵活，配电装置简单可靠。本实验室的一次接线如图3，每套发电机-变压器组是经过KT-32型交流接触器接在800伏的母线上。为了减小接触电阻，发电机与变压器之间没有开关电器，每套机组对应的小母线可以经刀闸和相邻机组的小母线相连。模拟机组间的并联运行，输电线路出线或接带负载也由小母线经KT-32接触器或刀闸接出。横贯各盘的还有一套短路母线，在

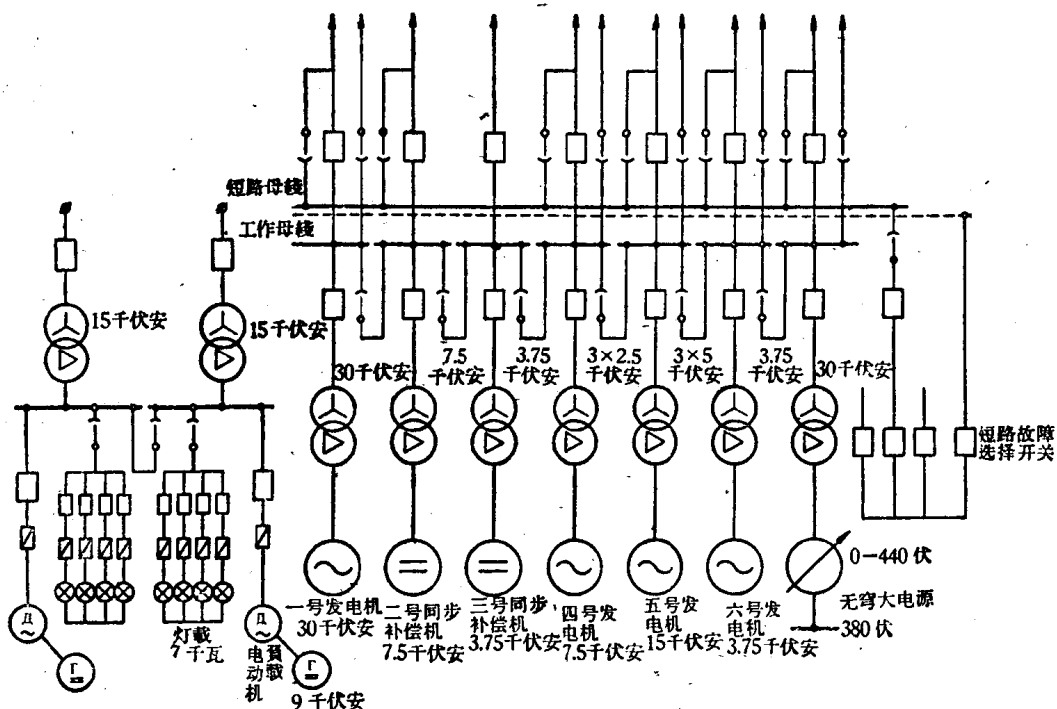


图 1-3 实验室一次接线图

特設的短路盤上可以製造各種形式的短路故障。

通過一台 800/400 伏的變壓器和一台 0—440 伏 30 仟伏安的感應調壓器接在一

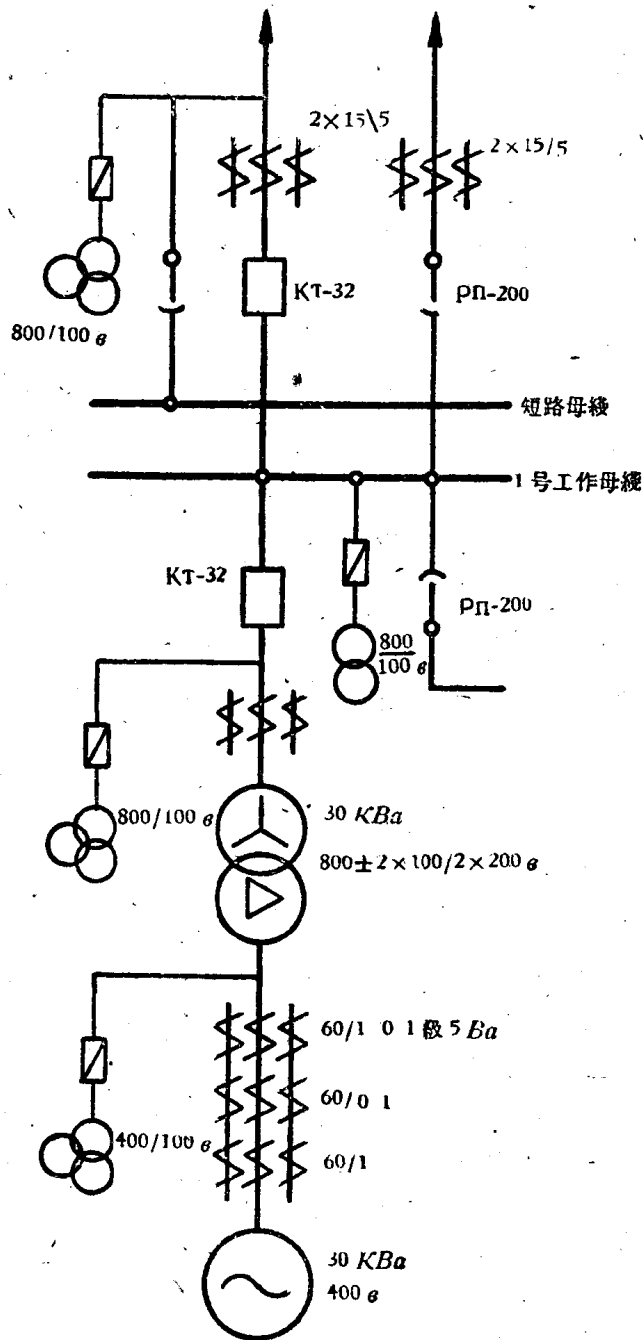


图 1-4 30 仟伏安模拟机組单元接綫

為 1 安，導線電流密度定為約 0.3 安/毫米²，這樣可使互感器本身的電阻降低 6—8 倍，而副邊電纜引線電阻影響可減小 25 倍。這些互感器準確度為 0.5 級裝在低壓側專

一台 180 仟伏安 6 仟伏/380 伏的
燈用變壓器和北京電力系統相
聯作為無窮大電源，感應調壓器
可在主控制室進行遠方操
作。用感應調壓器和系統相聯
是十分必要的，這樣就便於調
整受端電壓，適應不同模擬和
各種運行情況的要求。

設計一次迴路時必須對迴
路中各部分電阻予以特別注
意。聯接線、電流互感器、各處
接頭都是增大電阻的因素。例
如對 30 仟伏安發電機來講，
它的每相定子歐姆電阻只有
0.016 欧，但是一台普通 60/5
安電流互感器的原邊繞組就有
0.003 欧，如果再把互感器副邊
負載電阻也折合過來電阻值就
十分可觀了。再如聯接線若採用
截面為 20 毫米²長 15 米的銅線
時，電阻值即達 0.0134 欧。這
些數值對定子回路電阻而言都
將是不可忽略的數量，因此把
變壓器放在靠近發電機的位
置，縮短聯接線，採用較粗的接
線降低電流密度以減小附加電
阻。部分電流互感器也是特別
設計製造的，其副邊額定電流

供精密量測用。此外在高压側所裝的互感器付邊電流為5安是供主控制室配電盤儀表用。由於其損耗較大，在做某些穩定試驗時可將它在一次側給予短接。

圖4是30仟伏安發電機組的單元接線圖。在低壓側還有兩組互感器，同樣是按低電流密度設計的，專為供給勵磁調節器及複式勵磁用。

在主控制室中可以集中進行各機組主要開關設備的操作和監視各機組的運行情況。此外還有精密量測台，各發電機機端電壓互感器及電流互感器二次迴路，發電機勵磁迴路各電量等均引到量測台上，可接到精確度較高的儀表進行量測，由量測台還可將各電量引至九線示波器拍攝過渡過程。量測台上還裝有電子測角器（可量測各電機的功率角），電子時間繼電器（可控制短路切除及重合閘時間）。

結 束 語

1. 动态模拟是研究电力系統問題的有效工具。为了适应我国电力工业的迅速发展，及早开展这方面的研究工作是十分必要的。我校在党的总路綫和教育方針的指導和鼓舞下，在一年多一些的時間內多、快、好、省地建立起了动态模拟實驗室，并已开始为生产实际所提出的科学的研究工作服务。

2. 动态模拟研究工具和数学模拟研究工具是互相取长补短的，两者應該很好地結合起来才能最好地研究解决科学的研究問題。

3. 动态模拟實驗室的机組数目及規模，应根据研究解决的任务性質及技术上、經濟上的合理性出发来考虑。模拟电机应尽量做成是万用性的，并且应具有不同型式的备用轉子，这样可以在很广的范围内选择調整參數，以滿足不同研究对象的模拟要求。

4. 为了尽可能使模型系統中进行的过程和原型中的过程接近一致，必須使模型的參數尽量符合要求。对參數的非線性关系，对于一次迴路的电阻大小等必須給予很大注意，因为參數模拟的不准就会引起實驗結果的失真。實驗項目不同对實驗過程起主要作用的參數也不同，所以在調整配合參數时應結合理論分析来进行。

5. 勵磁系統及調節器，原動機及調速器等設備的模拟裝置也是實驗室的重要組成部分，这些模拟設備的設計製造和調整也必須考慮模拟的相似条件。